微小重力環境で燃焼蒸気—空気予混合気中の燃料液滴列を燃え広がる 火炎先端の挙動の観察

日大生産工(院) ○大窪 弾 日大生産工 野村 浩司

1. 緒言

噴霧燃焼は、ディーゼル機関やガスタービン などに幅広く用いられている燃焼方式である. 噴霧燃焼過程は,液体燃料の微粒化,雰囲気気 体から燃料液滴への熱伝達とそれによる蒸発 および蒸気の拡散,点火および火炎の形成など に分けられ、これらの過程が互いに影響しあい ながら同時進行する複雑な現象である. ゆえに 燃焼機構を詳細に把握することは難しく、完全 な解明にはいまだ至っていない. 燃焼機構解明 の手法として, 噴霧を単純モデル化した燃料液 滴列の燃え広がり実験が、微小重力環境を利用 して進められている. 微小重力環境を利用する ことで自然対流を取り除くことができる. 単純 モデル化した燃料液滴列を用いた実験で得られ た知見は、実機噴霧の燃焼や液滴群燃焼などの 機構解析において実験的裏付けとして重要な役 割を果たすと考えられる. 菊池らは燃料液滴列 の燃え広がりについての数値シミュレーション [1]を行ってきた. 数値シミュレーション結果と実 験結果を相互に検証し、シミュレーションの高 精度化を試みている. また火炎燃え広がりの際 の熱的干渉機構の解明を目的とし, 高橋ら^[2]は液 滴列中に配置された2から4液滴を拡大撮影す ることで、液滴直径履歴から燃え広がる火炎と 液滴列中液滴の熱的干渉について考察した... れまでは、火炎先端の挙動を観察するにあたり、 懸垂線の発光から火炎の先端の位置を観察して きたが,新たに,懸垂線の発光を検出する画像 解析ソフトを用いて懸垂線発光履歴と温度履歴 を取得した. 加えて、液滴間隔 1.6 mm について 新たに微小重力実験を行い,過去に取得してい た実験データに加え,幅広い液滴間隔での火炎 挙動と液滴の点火挙動の関係について,周囲予 混合気の気体当量比が燃料液滴列を燃え広がる 火炎に及ぼす影響について考察する.

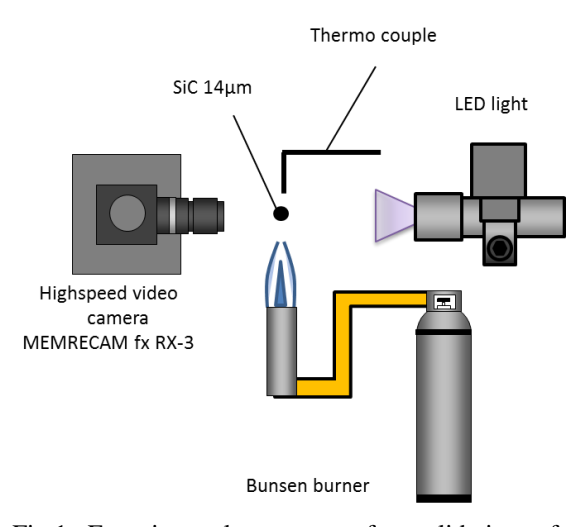


Fig.1 Experimental apparatus for validation of thin fiber pyrometer technique.

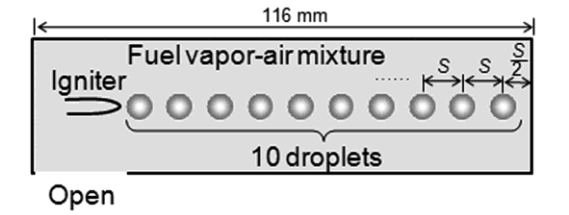


Fig.2 Droplet array.

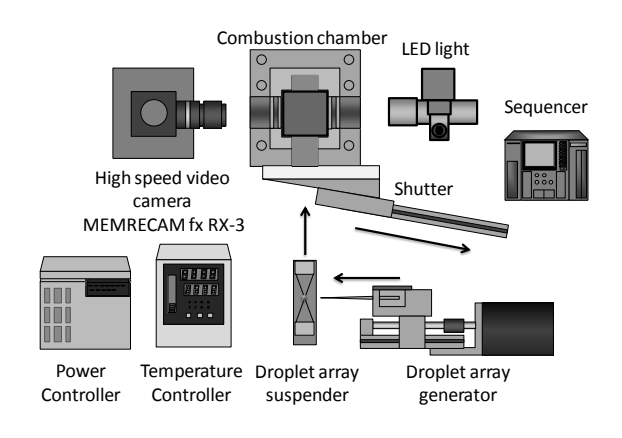


Fig.3 Experimental apparatus.

2. 実験装置および方法

Observations of Leading Edge Behavior of a Flame Spreading along a Fuel Droplet Array in Fuel Vapor-Air Mixture at Microgravity

Dan OKUBO, Hiroshi NOMURA

2.1 温度検証実験

図 1 に火炎検出法の検証実験に使用した実験 装置を示す. 本研究で用いた火炎検出法は、SiC ファイバが火炎に熱せられて発する熱放射を高 速度デジタルカメラで捕らえて数値化し、火炎 検出を行う.装置は高速度カメラ,LED光源, 直径 14 μm の SiC ファイバ, K 種熱電対, ブン ゼンバーナにより構成される. 懸垂線は両端を 水平に固定してあり、LED 光源は高速度カメラ に対し懸垂線の背後に配置した. LED 光源から SiCファイバまでの距離とSiCファイバからカメ ラのレンズまでの距離は、火炎燃え広がり実験 と同じ90 mm に配置した. SiC ファイバを下方 からブンゼンバーナで加熱し、温度を変化させ て SiC ファイバの発光を撮影し、火炎検出信号 が検出される SiC ファイバの温度を調べた. 発 光検出は、火炎燃え広がり実験において初期火 炎が検出されるバックライト照射範囲の縁付近 約2.4 mm (300 pix) について行った. 温度測定 に用いた K 種熱電対は直径 1.2 mm のシーズ熱電 対である. K 種熱電対は、SiC ファイバ発光画像 の解析範囲に映り込まない位置かつ、発光検出 部直上に設置した. SiC ファイバの発光検出には, 自作の解析プログラムを用いた. SiC ファイバ発 光部の青色輝度レベルと赤色輝度レベルの比が 閾値を超えた場合、検出信号を出力する. 実験 に使用したブンゼンバーナは青炎であるので, 輝炎が SiC ファイバに反射し、画像に映り込む ことはないことを確認した. 撮影には高速度カ ラービデオカメラ MEMRECAM fx RX-3 (撮影 速度: 500 fps, 画像サイズ: 1280×1024 pix, 露 光時間:オープン)を用い, LED 光源(日亜化 学工業株式会社,NPSW500CS)によるバックリ ット法を用いた.表1に温度検証実験パラメー タを示す.

2.2 落下実験

図 2 に、本研究で実験対象とした液滴列を示す。液滴列が挿入される燃焼容器は、一辺が l_{wh} の正方形断面であり、本実験では l_{wh} = 25 mm である。液滴列は正方断面の中心に配置した。液滴列が配置される列方向の実験空間長さは 116 mm で固定した。等間隔に 10 個の燃料液滴を直線状に配置し、点火源側の端の第 1 液滴に点火することで火炎を燃え広がらせる。第 10 液滴は燃焼容器閉端より液滴間隔の 1/2 離れた位置に配置した。燃焼容器壁面には、火炎の熱損失を低減させるためセラミックスを用いた。容器側面には石英ガラス製の観察窓を備え、燃焼容器内の飽和蒸気が凝縮することを防ぐため二重窓とした。燃焼室の内面を熱・物質移動の対象境界面と考えると、本研究対象の液滴列は

格子状の三次元液滴マトリックスから火炎進行 方向に一列を切り出した液滴列であると考える ことができる.

図3に実験装置の概略を示す.装置は,燃焼 容器, 液滴列生成装置, 液滴列支持装置, 点火 装置,制御装置および撮影装置より構成される. 液滴列生成装置は引き延ばしたガラス針によ る液滴列同時生成法[3]を用いている.燃料パッ クより, テフロンチューブ, サーボモータによ り駆動するマイクロアニュラギアポンプを介 して燃料溜め部に送られた燃料をガラス針先 端から吐出する. ガラス針は液滴間隔に合わせ て10本並列に配置した.サーボモータにより 燃料吐出量を制御することにより,直径 0.8 mm の液滴を 10 個同時に生成した. 液滴列支 持部はセラミックス製のフレームであり, 直径 14 μm の SiC ファイバを X 字型に交差させ, そ の交点に液滴を支持した. X 字型ファイバの配 置間隔を変更することで,液滴間隔を変更した. 点火源は熱面点火方式を採用した電熱線であ り, 鉄クロム線(直径 0.29 mm)を加熱すること で液滴への点火を行う. 制御装置にはシーケン サを使用し,電熱線への通電時間,支持部移動 モータ,および燃焼室加熱用シースヒータの制 御を行った. また, 液滴生成装置, シャッタお よび高速度カメラへのトリガ信号出力を行っ た. 測温抵抗体で燃焼容器中央部の混合気温度 を計測し,単相電力調節器によりシースヒータ の出力を制御することで燃焼容器内空間を一 定温度に保っている.燃料液滴列を火炎が燃え 広がる間,液滴の拡大撮影を行い,液滴直径履 歴および懸垂線の発光履歴を調べた. 液滴拡大 撮影装置には高速度カラービデオカメラ MEMRECAM fx RX-3(撮影速度:500 fps, 画 像サイズ: 1280×1024 pix, 露光時間: オープン) を用いた. 撮影には LED 光源によるバックリ ット法を用いた. 液滴生成確認には CCD カメ ラ XC-555 を用いた. 液滴列の初期液滴直径は, 第1,第2 および第10液滴を除く7個の液滴の 平均初期直径とし、 do と表記した. 7個の液滴 が 0.8 mm±10%の範囲で生成されるようにガラ ス針先端直径を調整し, d_0 が 0.80 mm となるよ うにと出量を調整した. 初期液滴直径は, 液滴 を短径 a および長径 b の回転楕円体とみなし、 等価液滴直径 $d_0 = (a^2b)^{1/3}$ とした. 生成される 液滴の直径の再現性は確認されているので,実 験ごとの初期直径の計測は行わなかった. 燃え 広がり火炎の液滴列垂直方向半径は,液滴と共 に写っている懸垂線の火炎の熱による発光部か

ら求めた. 懸垂線が赤熱しても, 青色輝度レベルはあまり変化しないことを利用し, 懸垂線画像の赤色輝度レベルと青色輝度レベルの比が連続的に閾値を越える最初の時刻を液滴の点火時刻とした. 液滴中心から赤色輝度レベルと青色輝度レベルの比の重み付き赤熱部平均距離を火炎半径とした. 火炎の液滴側の縁 (IEF) と外側の縁 (OEF) は, 懸垂線の発光強度が閾値を連続的に超えている部分の内縁と外縁の液滴中心からの距離である. 拡大撮影された液滴の直径計測には, 自作の画像解析プログラムを使用した. 詳細は文献3に記した.

実験条件をまとめて表 2 に示す. 燃料には正デカン($C_{10}H_{22}$)を使用した. 実験は,日本大学生産工学部の小型落下塔(2 重箱方式,微小重力時間約 1.1 秒)を利用した微小重力環境で行った.

3. 実験結果および考察

3.1 温度検証実験

図 4 に懸垂線の発光が確認された画像の確率 と温度履歴を示す. 発光が確認された確率は, 高速度カメラによって撮影された50フレームの 画像の内、発光が確認された画像の数から導き 出した. 800K から 900K までは懸垂線の発光は 検出されなかった. 900K 付近から 1100K 付近に かけては, 懸垂線発光が検出される確率が不安 定に増加した. 1100K より温度が高くなると懸 垂線発光は確実に検出されることがわかった. このことから現在の発光検出プログラムでは 1100K以上であれば発光は確実に検出されるが, 1100K 未満でも検知される可能性があるため, 今後懸垂線の発光を検知するプログラムの検出 クライテリアを改善していく必要がある. しか しながら,火炎の温度は1200 K を十分に超える 温度なので、火炎に触れた懸垂線は 10 ms 程度 で室温から1100 Kまで上昇すると推測されるこ とから、初期火炎の発生時刻同定には大きな影 響はないと考えられる.

3.2 落下実験

第5および第6液滴について火炎半径の履歴, 第6液滴の直径履歴を図5に示す. 横軸は第5 液滴が点火した時刻を0とした経過時間である. 第5液滴の点火後,火炎外縁が急速に拡大し, 0.016sで第6液滴は膨張を開始した.この時点 で第5液滴の火炎は,燃え広がり火炎先端が半 球形だと仮定すると,第6液滴に到達していない.この0.016s間で,第5液滴の初期火炎から の熱が雰囲気気体を伝わり,第6液滴に到達し たと考えられる.0.08s付近において第6液滴の 膨張が最大となり,0.086sで点火した.第5,第 6液滴の初期火炎半径は約1.3 mmであった.また,第6液滴が点火した時刻における第5液滴

Table 1 Experimental conditions.

Temperature [K]	840K~1150K	
Frame rate [fps]	500	
Resolution [pix]	1280 x 1024	
Nomber of frames	50	

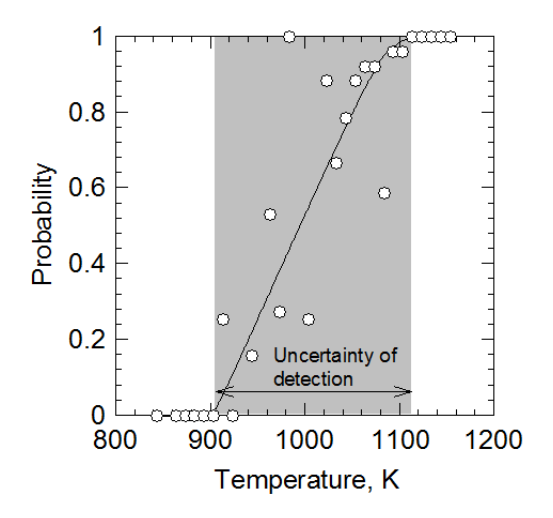


Fig.4 Probability of emission detection

Table 2 Experimental conditions.

S/d_0	2	3	3.75	6.25	
ф	0~0.7				
Fuel	n-decane				
l _{wh} (mm)	25				
l _d (mm)	116				
S (mm)	$1.6 \pm 10\%$	$2.4 \pm 10\%$	3±5%	5±5%	
$d_{0(3\sim 9)}$ [mm]	0.8±10%			$0.8 \pm 5\%$	
d _{0(1,2,9)} [mm]	about 0.8				
Obaervation droplets	4 th~7 th droplets	5 $^{\text{th}}\sim$ 7 $^{\text{th}}$ droplets		5 th and 6 th droplets	
Number of experiments	2	2	2	2	
Frame rate of video camera (fps)	500				
Video image resolution[pix]	1280 x 1024				
Gravity	Microgravity (Nihon Univ.)				

の火炎半径は 2.4 mm だった

図 6 に初期火炎半径を初期液滴直径で除した 無次元初期火炎半径を気体当量比の関数として 示す.無次元液滴間隔 S/d_0 が3から6.25までの 範囲では、いずれの気体当量比においても無次 元初期火炎半径は約1.7であり、気体当量比の増 大に伴い、わずかに増大した. S/d_0 が2の場合, 気体当量比が0から0.4までは無次元初期火炎 半径は約1.7をとるが、それ以降,気体当量比の 増大が顕著になり、気体当量比が0.7の条件では 無次元火炎半径が約2.4まで増加することがわ かった. 図7に第6液滴に火炎が燃え広がった瞬間の第5液滴の無次元火炎半径を気体当量比の関数として示す.未燃次液滴に燃え広がりが起こる瞬間の無次元火炎半径は,無次元液滴間隔 S/d_0 が3から6.25までの条件では気体当量比の影響をほとんど受けず,約3.5の値を示した. S/d_0 が2の場合,気体当量比が0から0.4までの条件では無次元火炎半径は約2をとるが,図4と同様に気体当量比が0.4より大きい場合,無次元火炎半径は増大が顕著になり,2.5から3の間に存在する.

4. 結言

噴霧燃焼の基礎研究として、懸垂線をバーナで加熱し、懸垂線の発光履歴と温度履歴を調べた。また、燃料蒸気-空気予混合気中液滴列中に配置された複数の液滴を拡大撮影し火炎燃え広がり実験を行った。液滴間隔、気体当量比を変化させ火炎燃え広がりを観察した。以下に得られた知見を示す。

- (1) 使用した火炎検出法では, 懸垂線が 1100 K 以上の温度になると確実に検出信号を発 する.
- (2) 液滴の点火開始時刻は液滴の膨張がピークを迎える時刻が一致することがわかった.
- (3) 無次元初期火炎半径は約1.7であり,気体当量比の増大に伴いわずかに増大する傾向がみられる。 S/d_0 が2の条件では気体当量比が0.4より大きくなるとその増大傾向は顕著になり,気体当量比が0.7の条件で約2.4の値をとる。
- (4) 第6液滴に火炎が燃え広がった瞬間の第5液滴の無次元火炎半径は、 S/d_0 が2の場合は、気体当量比が0.4より大きくなると約2.5から3の値をとるが、それ以外の液滴間隔では気体当量比の影響をほとんど受けず、約3.5の値を示すことがわかった.

参考文献

- 1) 菊池政雄,宇宙航空開発機構研究開発報告, JAXA-RR-06-038, 1-19, (2007).
- 2) 髙橋・他 4 名, 第 47 回燃焼シンポジウム 講演論文集, 492-493 (2009).
- 3) H. Nomura et al., Proc. Combust. Inst. (2012), http://dx.doi.org/10.1016/j.proci.2012.05. 049.

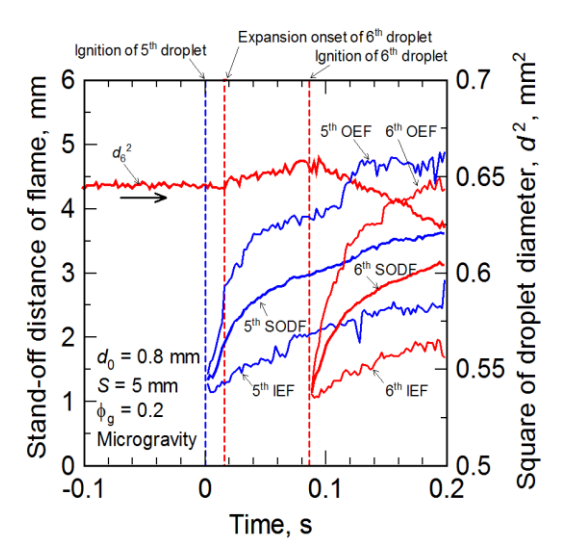


Fig.5 Stand-off distance of flame and Droplet diameter history.

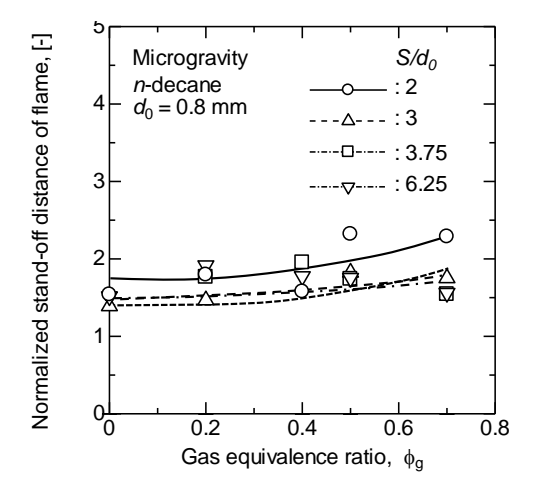


Fig.6 Initial stand-off distance of flame as a function of gas equivalence ratio.

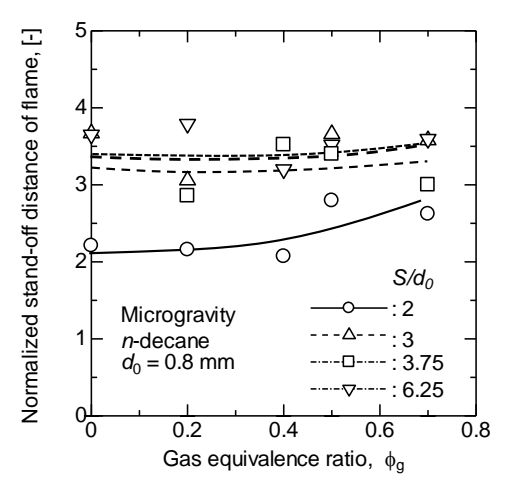


Fig.7 Stand-off distance of flame of 5th droplet at the ignition of 6th droplet as a function of gas equivalence ratio.